

KOHÄRENTES METROPOLIS-LICHTTRANSPORTMODELL MIT MUTATIONEN MIT MEHREREN VERSUCHEN IM SEMINAR COMPUTERGRAFIK

Jan Niklas Grieb

Georg-August-Universität Göttingen

11. Januar 2011



INHALT

1 EINFÜHRUNG

- Computergrafik: Strahlverfolgung
- Monte-Carlo
- Metropolis-Lichttransport
- Verbesserungen?

2 KOHÄRENTER METROPOLIS-LICHTTRANSPORT

- Multiple-Try-Mutationen
- Multiple-Try-Metropolis-Lichttransport
- Resultate

3 ZUSAMMENFASSUNG

- Anwendung & Beschränkungen
- Abschließende Worte

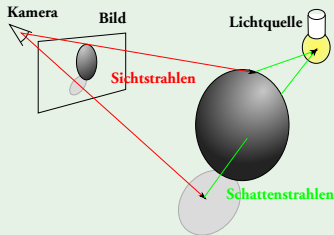
BELEUCHTUNG IN DER COMPUTERGRAFIK

- Verfahren der Computergrafik:
 - **Rasterizing**: Grafikpipeline, hardwarebeschleunigt, in Echtzeit.
 - **Strahlverfolgung**: realistisch, indirekte Beleuchtung.
- Beleuchtung in der Szene:
 - **Lokale Beleuchtung**: Shading, Farbe der Oberfläche aus Blickrichtung, Licht und Material.
 - Bei der **globalen Beleuchtung** besteht der Anspruch, die Lichtausbreitung realistisch zu verfolgen (Geometrie, Physik, etc.).
- **Fazit**: Rasterizing/Shading ist schnell, Strahlverfolgung/globale Beleuchtung ist realistischer und rechenzeitintensiver.

STRAHLVERFOLGUNG

- Beim **Raycasting** werden für jeden Sichtstrahl eines jeden Kamerapixels die Schnittpunkte mit der Szene bestimmt.
- Schnell, aber wenig Gestaltungsspielraum.
- Keine diffuse Beleuchtung, Schatten: nur Ja/Nein.

ILLUSTRATION



STRAHLVERFOLGUNG

- Vielzahl an Verbesserungen entwickelt:

WHITTED-RAYTRACING

- Das **Raytracing** nach Turner Whitted berechnet auch Sekundärstrahlen rekursiv (Brechung, Spiegelung).
- Schatten (abrupte Kanten), aber noch keine diffusen Oberflächen implementiert.

DISTRIBUTION RAY TRACING

- Hier werden mehrere Primär- und Sekundärstrahlen versendet (**stochastisch** verteilt) und gemittelt.
- Ergebnis: weichere Schattenverläufe, diffuse Beleuchtung.
- Realitätseindruck durch *motion blur* und **Unschärfe** gesteigert.

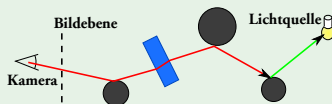
PFADTRACING

- Lösen der **Rendergleichung** von Kajiya bisher nicht gegeben: “Lichtausbreitung um die Ecke”

ABHILFE: PFADTRACING

- Das **Pfadtracing** generiert Sekundärstrahlen bei **diffusen**, **reflektierenden** und **lichtdurchlässigen** Materialien.
- Integration über mehrere Pfade pro Bildpixel.
- Mathematische Formulierung: Bidirektionale Reflektanz-, resp. Transmittanzverteilungsfunktion (BRDF, BTDF, etc.).

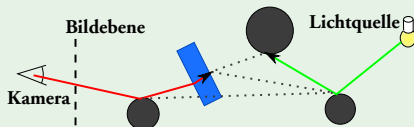
ILLUSTRATION



BIDIREKTIONALES PFADTRACING I

- Verbesserung durch **bidirektionalen Ansatz**:
gleichzeitige, unabhängige Konstruktion von Kamerastrahl
und Lichtstrahl.

ILLUSTRATION

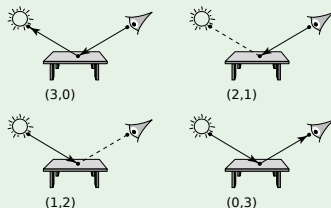


BIDIREKTIONALES PFADTRACING II

- (s, t) : Kombination von Kamerapfaden der Länge s mit Lichtpfaden der Länge t zu Gesamtpfaden der Länge $k = s + t - 1$.

ILLUSTRATION

- Alle (s, t) -Pfade der Länge $k = 2$.



[Quellenangaben zu den Bildern in der Ausarbeitung.]

WAHRSCHEINLICHKEITSDICHTEFUNKTION UND ERWARTUNGSWERT

- Der Erwartungswert, wenn *Wahrscheinlichkeitsdichtefunktion* (PDF) verwendet:

$$E[f] = \int f(\mathbf{x})p(\mathbf{x}) dV. \quad (1)$$

- Sei F_N Schätzer aus N Samples für eine Größe I .
- Schätzer ist **erwartungstreu** für $E[F_N] = I$ und
- **konsistent**, falls $\lim_{N \rightarrow \infty} E[F_N - I] = 0$.

MONTE-CARLO-INTEGRATION

- Verfahren zur numerischen Integration von Funktionen.

STANDARD-MC-INTEGRATION

$$I = \int_M f(\mathbf{x}) d\mu(\mathbf{x}), \quad F_N = \frac{1}{N} \sum_{i=1}^N \frac{f(\mathbf{X}_i)}{p(\mathbf{X}_i)} \Rightarrow E[F_N] = I, \quad (2)$$

wobei \mathbf{X}_i Zufallszahlen nach PDF $p(\mathbf{x})$ aus Gebiet M mit Maß $d\mu(\mathbf{x})$.

- Umgeht **Fluch der Dimensionalität** der gewöhnlichen Quadraturmethoden (Gauß, etc.), da Fehler $\delta I \propto 1/\sqrt{N}$, dimensionsunabhängig!

METROPOLIS-HASTINGS-ALGORITHMUS I

- Bei der Verwendung von $p(\mathbf{x}) \propto f(\mathbf{x})$ werden die Zufallszahlen die “wichtigen” Stellen der Funktion treffen.
- Dies **minimiert** die Varianz von F_N und damit den Fehler der Monte-Carlo-Integration.
- **Frage**: Wie wird eine solche PDF $p(\mathbf{x})$ generiert?
- **Antwort**: Markov-Ketten!

MARKOV-KETTEN

- Kette aus Realisierungen einer Zufallsvariablen
 $\dots \rightarrow \mathbf{x}_i \rightarrow \mathbf{x}_{i+1} \rightarrow \mathbf{x}_{i+2} \rightarrow \dots$
- Maß für die Übergangswahrscheinlichkeit ist $K(\mathbf{x}_i \rightarrow \mathbf{x}_{i+1})$
(keine Vorgeschichte).
- Wahrscheinlichkeit für Zustand \mathbf{x} in Schritt i : $P(\mathbf{x}, i)$.
- **stationär**: $P(\mathbf{x}, i) = P(\mathbf{x}, i + 1) \equiv P(\mathbf{x})$

DETAILLIERTES GLEICHGEWICHT

- Fordere

$$p(\mathbf{x}_i)K(\mathbf{x}_i \rightarrow \mathbf{x}_j) = p(\mathbf{x}_j)K(\mathbf{x}_j \rightarrow \mathbf{x}_i). \quad (3)$$

- Dann: $P(\mathbf{x}) \propto p(\mathbf{x})$

METROPOLIS-HASTINGS-ALGORITHMUS II

- Implementation einer Markov-Kette, welche $p(\mathbf{x})$ **reproduziert**
- durch *Vorschlagen* von Kandidaten mit Wahrscheinlichkeit $T(\mathbf{x}_i \rightarrow \mathbf{x}_j)$ und
- *Akzeptanz* mit Wahrscheinlichkeit

$$W(\mathbf{x}_i \rightarrow \mathbf{x}_j) = \min \left(1, \frac{p(\mathbf{x}_j) T(\mathbf{x}_j \rightarrow \mathbf{x}_i)}{p(\mathbf{x}_i) T(\mathbf{x}_i \rightarrow \mathbf{x}_j)} \right) \quad (4)$$

(so groß wie möglich).

- $\Rightarrow K(\mathbf{x}_i \rightarrow \mathbf{x}_j) = T(\mathbf{x}_i \rightarrow \mathbf{x}_j) W(\mathbf{x}_i \rightarrow \mathbf{x}_j)$
- **Wichtig:** $p(\mathbf{x})$ muss i.A. nicht berechenbar sein, es reicht die Verhältnisse zu kennen.

METROPOLIS-HASTINGS-ALGORITHMUS III

METROPOLIS-HASTINGS-ALGORITHMUS

- 1) Startwert $\mathbf{x}_i \leftarrow \mathbf{x}_0$
- 2) **Vorschlag** \mathbf{x}^* gemäß $T(\mathbf{x}_i \rightarrow \mathbf{x}^*)$
- 3) Berechne $w \equiv W(\mathbf{x}_i \rightarrow \mathbf{x}^*) = [p(\mathbf{x}^*) T(\mathbf{x}^* \rightarrow \mathbf{x}_i)] / [p(\mathbf{x}_i) T(\mathbf{x}_i \rightarrow \mathbf{x}^*)]$.
 - i) Wenn $\text{rand}(0, 1) \leq w$, so **akzeptiere** Vorschlag: $\mathbf{x}_{i+1} \leftarrow \mathbf{x}^*$.
 - ii) Ansonsten alter Wert: $\mathbf{x}_{i+1} \leftarrow \mathbf{x}_i$.
- 4) Sample \mathbf{x}_{i+1} in **Histogramm**
- 5) Setze $\mathbf{x}_i \leftarrow \mathbf{x}_{i+1}$ und beginne **erneut** bei 2).

STARTUP-BIAS

Die Markov-Kette ist zunächst vom Startwert abhängig und somit erst nach einiger Zeit stochastisch unabhängig.

MC-INTEGRATION IN DER CG

- In einem Pfadtracer die **Rendergleichung** durch MC-Integration lösen:

$$I = \int_{\Omega} f(\bar{\mathbf{x}}) d\mu(\bar{\mathbf{x}}). \quad (5)$$

PFADINTEGRAL-FORMULISMUS

- Erweitere Messgleichung **rekursiv** mit Rendergleichung:

$$\begin{aligned} I = & \int_{\mathcal{M}^2} L_e(\mathbf{x}_1 \rightarrow \mathbf{x}_0) G(\mathbf{x}_1 \leftrightarrow \mathbf{x}_0) W_e(\mathbf{x}_1 \rightarrow \mathbf{x}_0) dA(\mathbf{x}_0) dA(\mathbf{x}_1) \\ & + \int_{\mathcal{M}^3} L_e(\mathbf{x}_2 \rightarrow \mathbf{x}_1) G(\mathbf{x}_2 \leftrightarrow \mathbf{x}_1) f_s(\mathbf{x}_2 \rightarrow \mathbf{x}_1 \rightarrow \mathbf{x}_0) \\ & \cdot G(\mathbf{x}_2 \leftrightarrow \mathbf{x}_1) W_e(\mathbf{x}_1 \rightarrow \mathbf{x}_0) dA(\mathbf{x}_0) dA(\mathbf{x}_1) dA(\mathbf{x}_2) + \dots \quad (6) \end{aligned}$$

PFADINTEGRALE I

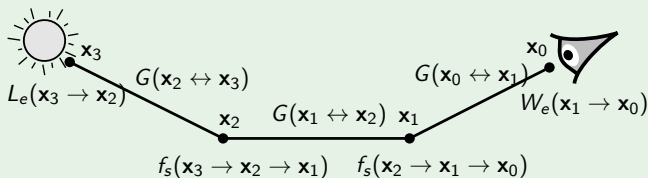
- Beim PI-Formalismus wird die **unabhängige Summe** über die Integration aller Pfade einer Länge k gebildet.
- Diese Integrale werden mit Monte-Carlo-Verfahren **gesampelt**.
- **Beitrag** $f(\bar{\mathbf{x}})$ eines Pfades $\bar{\mathbf{x}}$ zum MC-Schätzwert des Integrals: vertexweise aus BRDF f_s und geometrischem Faktor G multipliziert.

PFADINTEGRALE II

- Hier ein Beispiel für $k = 3$ ($\bar{x} = x_0 \dots x_3$):

$$f(\bar{x}) = L_e(x_0 \rightarrow x_1)G(x_0 \leftrightarrow x_1)f_s(x_0 \rightarrow x_1 \rightarrow x_2)G(x_1 \leftrightarrow x_2) \\ \cdot f_s(x_1 \rightarrow x_2 \rightarrow x_3)G(x_2 \leftrightarrow x_3)W_e(x_2 \rightarrow x_3)$$

ILLUSTRATION



PFADWAHRSCHEINLICHKEIT

- Die Pfadwahrscheinlichkeit $p(\mathbf{x})$ ergibt sich aus den Wahrscheinlichkeiten pro Flächenelement an den Vertizes:

$$p(\bar{\mathbf{x}}) = \frac{dP}{d\mu}(\bar{\mathbf{x}}) = \prod_{i=0}^k \frac{dP}{dA}(\mathbf{x}_i) \quad (7)$$

- Bei Lichtquellen ist Wahrscheinlichkeit pro Flächenelement dA *a-priori* vorgegeben.
- Bei Sekundärstrahlen wird Richtung ω_0 mit W'keit $p(\omega_0)$ gewählt. Transformation der PDF:

$$p(\mathbf{x}') = p(\omega_0) \frac{|\cos(\theta'_i)|}{\|\mathbf{x} - \mathbf{x}'\|^2}$$

FAZIT

- Die allgemeine Monte-Carlo-Integration in Pfadtracern mittels PI kann **globale Beleuchtung** realisieren, hat aber **Schwächen** bei schwierigen Beleuchtungsverhältnissen.
- Manche Effekte (e. g. spekulare Lichtquellen) nur mit BPT realisierbar

MULTIPLE-IMPORTANCE-SAMPLING

- Die einzelnen Pfade kommen bei unterschiedlichen Importance-Sampling-Techniken zustande.
- **Optimales** Endergebnis durch **gewichtetes Mittel** aus allen Techniken: *multi-sample model*.
- Unverzichtbar bei BPT.

METROPOLIS-LICHTTRANSPORTMODELL

- Beim **Metropolis-Light-Transport** (MLT) wird auf Metropolis-Hastings (MH) zurückgegriffen, so dass die intensiven Lichtpfade bevorzugt behandelt werden.
Literatur: [Veach 1997], [Veach and Guibas 1997]

VERGLEICH BIDIR. PATHTRACER – MLT



- Bessere Konvergenz bei schlechten Lichtverhältnissen (e. g. Türspalt).

METROPOLIS-LICHTTRANSPORTMODELL

- Verwende MH zum Samplen von Lichtpfaden:

MLT-ALGORITHMUS

- 1) Startpfad $\bar{x}_i \leftarrow \bar{x}_0$
- 2) **Vorschlag** \bar{x}^* gemäß $T(\bar{x}_i \rightarrow \bar{x}^*)$
- 3) Berechne $w = W(\bar{x}_i \rightarrow \bar{x}^*) = [p(\bar{x}^*) T(\bar{x}^* \rightarrow \bar{x}_i)] / [p(\bar{x}_i) T(\bar{x}_i \rightarrow \bar{x}^*)]$.
 - i) Für $\text{rand}(0, 1) \geq w$ **akzeptiere** den Vorschlag: $\bar{x}_{i+1} \leftarrow \bar{x}^*$.
 - ii) Ansonsten behalte den alten Wert: $\bar{x}_{i+1} \leftarrow \bar{x}_i$.
- 4) Lichtintensität von \bar{x}_{i+1} in **Histogramm**
- 5) Setze $\bar{x}_i \leftarrow \bar{x}_{i+1}$ und beginne **erneut** bei 2) bis n MH-Mutationen durchgeführt sind.

- Bei Farben wird die Lichtintensität auf die photometrische *Luminanz* skaliert.

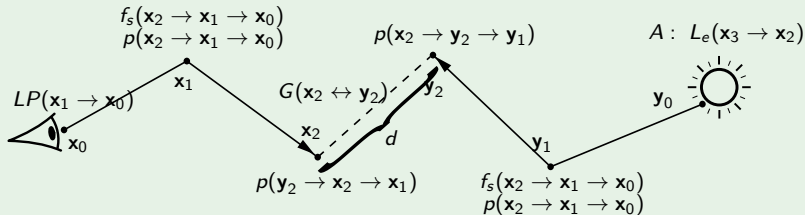
LICHTPFADINTENSITÄT

- **Bidirektionales MLT:** Kombiniere Kamera- und Lichteilpfad zu (s, t) -Pfad der Gesamtlänge $k = s + t - 1$.

$$\frac{f_s(\mathbf{x}_2 \rightarrow \mathbf{x}_1 \rightarrow \mathbf{x}_0)}{p(\mathbf{x}_2 \rightarrow \mathbf{x}_1 \rightarrow \mathbf{x}_0)} \times \frac{G(\mathbf{x}_2 \leftrightarrow \mathbf{y}_2) f_s(\mathbf{y}_2 \rightarrow \mathbf{x}_2 \rightarrow \mathbf{x}_1) f_s(\mathbf{x}_2 \rightarrow \mathbf{y}_2 \rightarrow \mathbf{y}_1)}{\pi d^2}$$

$$\times \frac{f_s(\mathbf{y}_2 \rightarrow \mathbf{y}_1 \rightarrow \mathbf{y}_0)}{p(\mathbf{y}_2 \rightarrow \mathbf{y}_1 \rightarrow \mathbf{y}_0)} \times \frac{A L_e(\mathbf{y}_0 \rightarrow \mathbf{y}_1)}{P_{\text{len}} P_{\text{light}}} = LP(\mathbf{x}_1 \rightarrow \mathbf{x}_0)$$

BEISPIELPFAD IM BIDIREKTIONALEN MLT



MLT-MUTATIONSSTRATEGIEN

- Gestalte Übergänge zu Mutationen $T(\mathbf{x}_i, \mathbf{x}_j)$ so, dass dieses berechenbar ist und **Ergodizität** vorliegt.
- Ergodizität wird in MLT durch komplett neue Teilpfade realisiert (*birectional mutations*).
- Pfadmutationen an den Vertizes werden nach komplizierten Mustern je nach Oberfläche / Material behandelt:
 - lens perturbations,
 - caustic perturbations,
 - multi-chain perturbations
- Kamerateilpfadmutationen, damit jeder Kamerapixel gleich oft vorgeschlagen (*stratification* abbauen).

NORMIERUNG DES HISTOGRAMMS

- **Normiere** das Histogramm:

$$I_{\text{norm}} = sI, \quad s = \frac{f_{\text{avg}}}{h_{\text{avg}}}. \quad (8)$$

f_{avg} mittlere Intensität

h_{avg} mittlere Anzahl von Samples pro Bin

- Ersteres aus gewöhnlichem BPT mit MIS,
- dann Rauschunterdrückung und Abgrasen von Kaustiken mittels MLT.

VERBESSERUNGEN AN MLT?

WEITERFÜHRENDE ARBEITEN

- [Kelemen et al. 2002] verbessern MLT durch Beschreibung von *kleinen Mutationen* durch Zufallszahlen auf Einheitswürfel (Varianz verringert). *Große Mutationen* für Ergodizität.
 - Verwende MH in Energieverteilungs-Pfadtracern [Cline et al. 2005].
 - Oder *Replica Exchange* ersetzt MH [Kitaoka et al. 2009], erinnert an *simulated annealing*.
-
- Die **sequenzielle** Berechnung der Mutationen ist ein großer Schwachpunkt von MLT: keine Parallelisierung.
 - Zudem gering Cache-Freundlichkeit
 - und Flickerprobleme in Animationsszenarien.

INHALT

1 EINFÜHRUNG

- Computergrafik: Strahlverfolgung
- Monte-Carlo
- Metropolis-Lichttransport
- Verbesserungen?

2 KOHÄRENTER METROPOLIS-LICHTTRANSPORT

- Multiple-Try-Mutationen
- Multiple-Try-Metropolis-Lichttransport
- Resultate

3 ZUSAMMENFASSUNG

- Anwendung & Beschränkungen
- Abschließende Worte

MULTIPLE-TRY-MUTATIONEN

- In vielen Dimension wächst die Schrittgröße (multivariate Normalverteilungen) mit \sqrt{d} : **curse of dimensionality**. Dies führt zu vielen Rückweisungen.
- Bei verringerter Schrittweite wird der Raum weniger gut abgedeckt.

MULTIPLE-TRY-METROPOLIS-HASTINGS

- [Liu et al. 2000] haben eine Verbesserung von MH vorgeschlagen, bei der mehrere Kandidaten gegeneinander antreten (*multiple-try*).

MULTIPLE-TRY-METROPOLIS-HASTINGS

- Die Vorschlagswahrscheinlichkeitsverteilung sollte

$$T(\mathbf{x} \rightarrow \mathbf{y}) > 0 \Leftrightarrow T(\mathbf{y} \rightarrow \mathbf{x}) > 0 \quad (9)$$

erfüllen. Mit symmetrischer, nicht-negativer Funktion $\lambda(\mathbf{x}, \mathbf{y})$ definiert man:

$$w(\mathbf{x}, \mathbf{y}) := p(\mathbf{y}) T(\mathbf{y} \rightarrow \mathbf{x}) \lambda(\mathbf{x}, \mathbf{y}). \quad (10)$$

- Diese Funktion vergleicht mehrere Kandidaten / Widersacher miteinander. Im Falle von **detailliertem Gleichgewicht** realisiert die resultierende **Markov-Kette** die PDF $p(\mathbf{x})$.
- Möglichkeit:

$$\lambda(\mathbf{x}, \mathbf{y}) = [T(\mathbf{y} \rightarrow \mathbf{x}) T(\mathbf{x} \rightarrow \mathbf{y})]^{-1} \quad (11)$$

MULTIPLE-TRY-METROPOLIS-HASTINGS

MTMH-ALGORITHMUS

- 1) Startwert $\mathbf{x}_i \leftarrow \mathbf{x}_0$
- 2) **Vorschlag**: k neue $\{\mathbf{y}_l\}$ gemäß $T(\mathbf{x}_i \rightarrow \mathbf{y}_l)$
- 3) **Wähle** ein $\mathbf{x}^* = \mathbf{y}_{l^*}$ mit Wahrscheinlichkeit gemäß Gewicht $w(\mathbf{x}_i, \mathbf{y}_l)$ aus.
- 4) Ziehe $k - 1$ **Widersacher** $\{\mathbf{z}_l\}$ gemäß $T(\mathbf{x}^* \rightarrow \mathbf{z}_l)$ und setze $\mathbf{z}_k := \mathbf{x}_i$.
- 5) Berechne $\tilde{w} := [\sum_l w(\mathbf{x}_i, \mathbf{y}_l)] / [\sum_l w(\mathbf{x}^*, \mathbf{z}_l)]$.
 - I) Für $\text{rand}(0, 1) \leq \tilde{w}$ **akzeptiere** den Vorschlag: $\mathbf{x}_{i+1} \leftarrow \mathbf{x}^*$.
 - II) Ansonsten behalte den alten Wert: $\mathbf{x}_{i+1} \leftarrow \mathbf{x}_i$.
- 6) Sample \mathbf{x}_{i+1} in Histogramm
- 7) Setze $\mathbf{x}_i \leftarrow \mathbf{x}_{i+1}$ und beginne **erneut** bei 2).

- Erfüllt detailliertes Gleichgewicht!

MULTIPLE-TRY-METROPOLIS-HASTINGS IN MLT I

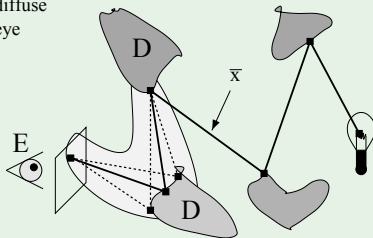
- **Vektorielle** Verarbeitung von Pfadmutationen durch Verwendung von MTMH in MLT: **kohärentes Metropolis-Lichttransportmodell** (*coherent Metropolis Light Transport*, CMLT).
- Mehrere Kandidaten gleichzeitig berechnet und verglichen.
- **effiziente** Verschachtelung von “normalem” MH und MTMH: lichtintensive MH-Pfade werden dann mit MTMH behandelt (Kaustiken “absuchen”).

MULTIPLE-TRY-METROPOLIS-HASTINGS IN MLT II

- Mutation der **Kamerateilpfade**: $(L|D)S^*E$.

ILLUSTRATION MTMH-MUTATIONEN

D diffuse
E eye



ANPASSUNG DES VERFAHRENS

- CMLT beinhaltet MLT, wobei die Kameraunterpfade des bidirektionalen MC-Pfadtracers kohärent durch MTMH-Störungen gesampelt wird.
- Im Gegensatz zum ursprünglichen MTMH-Algorithmus von [Liu et al. 2000] werden **alle** Kandidaten ausgewertet und nach den Metropolis-Raten **gewichtet** gemittelt. Dies erfüllt immer noch das detaillierte Gleichgewicht.
- Die MTMH-Störungen sind (biasfreie) Linsen- und kaustische Mutationen.

KOHÄRENTER METROPOLIS-LICHTTRANSPORT

ÄUSSERER ALGORITHMUS

- 1) Startpfad $\bar{x}_i \leftarrow \bar{x}_0$
A)-G) [...]
- 2) **Vorschlag**: \bar{x}^* gemäß $T_{\text{bidir}}(\bar{x}_i \rightarrow \bar{x}^*)$.
- 3) Berechne $w = [\rho(\bar{x}^*) T_{\text{bidir}}(\bar{x}_i \rightarrow \bar{x}^*)] / [\rho(\bar{x}_i) T_{\text{bidir}}(\bar{x}^* \rightarrow \bar{x}_i)]$.
 - i) Für $\text{rand}(0, 1) \leq w$ **akzeptiere** den Vorschlag: $\bar{x}_{i+1} \leftarrow \bar{x}^*$.
 - ii) Ansonsten behalte den alten Wert: $\bar{x}_{i+1} \leftarrow \bar{x}_i$.
- 4) Setze $\bar{x}_i \leftarrow \bar{x}_{i+1}$ und beginne **erneut** bei 2) bis n MH-Mutationen durchgeführt sind.

KOHÄRENTER METROPOLIS-LICHTTRANSPORT

INNERER ALGORITHMUS

- A) Startpfad $\bar{\mathbf{x}}_i^{(j)} \leftarrow \bar{\mathbf{x}}_i^{(0)} \leftarrow \bar{\mathbf{x}}_i$
- B) **Vorschlag**: k neue $\{\bar{\mathbf{y}}_l\}$ gemäß $T_{1c}(\bar{\mathbf{x}}_i^{(j)} \rightarrow \bar{\mathbf{y}}_l)$
- C) **Wähle** ein $\bar{\mathbf{x}}^* = \bar{\mathbf{y}}_{l^*}$ mit Wahrscheinlichkeit gemäß Gewicht $w(\bar{\mathbf{x}}_i^{(j)}, \bar{\mathbf{y}}_l)$ aus.
- D) Ziehe $k - 1$ **Widersacher** $\{\bar{\mathbf{z}}_l\}$ gemäß $T_{1c}(\bar{\mathbf{x}}^* \rightarrow \bar{\mathbf{z}}_l)$ und setze $\bar{\mathbf{z}}_k := \bar{\mathbf{x}}_i^{(j)}$.
- E) Berechne $\tilde{w} := [\sum_l w(\bar{\mathbf{x}}_i^{(j)}, \bar{\mathbf{y}}_l)] / [\sum_l w(\bar{\mathbf{x}}^*, \bar{\mathbf{z}}_l)]$.
 - I) Für $\text{rand}(0, 1) \leq \tilde{w}$ **akzeptiere** den Vorschlag: $\bar{\mathbf{x}}_i^{(j+1)} \leftarrow \bar{\mathbf{x}}^*$.
 - II) Ansonsten behalte den alten Wert: $\bar{\mathbf{x}}_i^{(j+1)} \leftarrow \bar{\mathbf{x}}_i$.
- F) $2k$ Lichtintensitäten mit Gewichten $w \frac{f(\bar{\mathbf{y}}_l)}{F_y}$ und $(1 - w) \sum_{l=1}^k \frac{f(\bar{\mathbf{z}}_l)}{F_z}$, $l = 1 \dots k$, in Histogramm
- G) Setze $\bar{\mathbf{x}}_i^{(j)} \leftarrow \bar{\mathbf{x}}_i^{(j+1)}$ und beginne **erneut** bei B) bis m MTMH-Mutationen durchgeführt sind.

■ $F_y = \sum_{l=1}^k f(\bar{\mathbf{y}}_l)$, $F_z = \sum_{l=1}^k f(\bar{\mathbf{z}}_l)$, wieder Luminanz-skaliert.

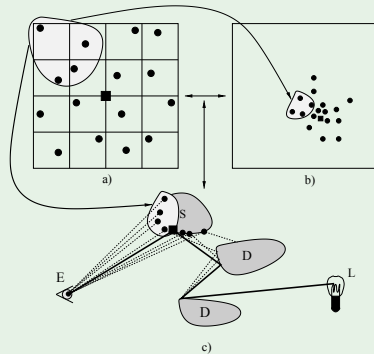
PARAMETERWAHL

- [Segovia et al. 2007] finden keine Abhängigkeit von der Wahl von λ .
- **Kritische** Parameter sind die **Varianzen** der Gaußschen Mutationsparameter und die **Anzahl** k von MTMH-Vorschlägen.

KOHÄRENZ

- Generierung von **kohärenten** Strahlbündeln: uniform verteilte, geclusterte Mutationsschritte. Dann: *Box-Muller-Trafo*.
- Vektorielle SIMD-Berechnung der Cluster.
- *Auch möglich:* Strahlbündel-Frustums [Reshevtov et al. 2005].

ILLUSTRATION DER KOHÄRENTEN BÜNDEL



RESULTATE I

- [Segovia et al. 2005] verwenden OpenRT.
- **Parameterstudien** für verschachteltes CMLT.

PARAMETERABHÄNGIGKEIT I

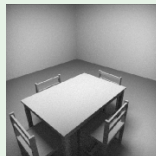
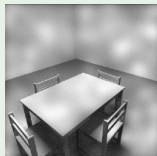
- Keine Sensitivität auf die **Länge m der MTMH-Untersequenzen**,
- da MH-Samples bereits proportional zur Lichtintensität sind.

RESULTATE II

PARAMETERABHÄNGIGKEIT II

- Zusammenhang von **Schrittgröße** σ und **Anzahl an MTMH-Wettstreitern**.
- Viele Kandidaten kompensieren große Schrittweite und stabilisieren damit Algorithmus.
- Zu viele Kandidaten sorgen für *stratification*.

BEISPIEL FÜR *stratification*



RESULTATE III

- Leistungssteigerung durch SSE-SIMD: Faktor 1.5 bis 2.5.
- **Cachefreundlichkeit**: Vergleich von CMLT mit MLT und Radiosity zeigt, dass die kohärente Arbeitsweise die Cachezugriffe auf Niveau des letzteren Verfahrens senkt.

INHALT

1 EINFÜHRUNG

- Computergrafik: Strahlverfolgung
- Monte-Carlo
- Metropolis-Lichttransport
- Verbesserungen?

2 KOHÄRENTER METROPOLIS-LICHTTRANSPORT

- Multiple-Try-Mutationen
- Multiple-Try-Metropolis-Lichttransport
- Resultate

3 ZUSAMMENFASSUNG

- Anwendung & Beschränkungen
- Abschließende Worte

ANWENDUNG & BESCHRÄNKUNGEN

- Anwendung in **kommerziellen** Renderern in Aussicht.
- Zudem **Übertragung** auf andere Bereiche möglich, wie e. g. *energy-redistribution* rendering.

EINSCHRÄNKUNGEN

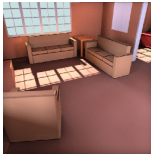
- Weiterhin **Flickeringprobleme**, evtl. Glättung der Skalierung und gespeicherte Seeds.
- Weiterhin Bedarf eines guten **(Pseudo)-RNG**.
- **Rechnernetzwerke**: kopiere Geometrie, Schreibzugriff auf alle Teile des Bildes.

ABSCHLIESSENDE WORTE

- **MLT** stellt ein **numerisch stabiles** Rendering-Verfahren mit **globaler Beleuchtung** (geringe Ansprüche an Szene und Lichtverhältnisse) **ohne Bias**.
- **CMLT** verbessert die Implementation von MLT auf Parallelrechnern durch **vektorielle** Berechnung von Mutationen und **Cache-Freundlichkeit**.
- Guter Schritt in Richtung **Echtzeit**-Pfadtracing,
- Kelemen-MLT neuerdings auf GPU gerechnet.

ENDE

- **Vielen Dank** für Ihre Aufmerksamkeit.



- Besten Dank auch an W. Kurth für die Betreuung des Seminars und an R. Hemmerling für seine Unterstützung und Hilfestellungen.

INHALT

4 ANHANG

- Verweise
- Definitionen
- Anschauung CMLT

VERWEISE I



CLINE, D., AND EGBERT, P. 2005.
A practical introduction to metropolis light transport.
Tech. rep., Brigham Young University, May.



CLINE, D., TALBOT, J., AND EGBERT, P. 2005.
Energy redistribution path tracing.
ACM Transactions on Graphics 24, 3 (Aug.), 1186–1195.



HECKBERT, P. S. 1990.
Adaptive radiosity textures for bidirectional ray tracing.
In *Computer Graphics (Proceedings of SIGGRAPH 90)*, 145–154.



KAJIYA, J. T. 1986.
The rendering equation.
In *Computer Graphics (Proceedings of SIGGRAPH 86)*, 143–150.



KELEMEN, C., SZIRMAY-KALOS, L., ANTAL, G., AND CSONKA, F. 2002.
A simple and robust mutation strategy for the metropolis light transport algorithm.
Computer Graphics Forum 21, 3, 531–540.



KELLER, A. 1997.
Instant radiosity.
In *Proceedings of SIGGRAPH 97*, Computer Graphics Proceedings, Annual Conference Series, 49–56.



KITAOKA, S., KITAMURA, Y., AND KISHINO, F. 2009.
Replica exchange light transport.
Computer Graphics Forum 28, 8 (Dec.), 2330–2342.

VERWEISE II



LIU, J. S., LIANG, F., AND WONG, W. H. 2000.
The Multiple-Try Method and Local Optimization in Metropolis Sampling.
Journal of the American Statistical Association 95, 449 (March), 121+.



PHARR, M. 2003.
Chapter 9: Metropolis sampling.
In *SIGGRAPH 2003 Course Note #44: Monte Carlo Ray Tracing*.



RESHETOV, A., SOUPIKOV, A., AND HURLEY, J. 2005.
Multi-level ray tracing algorithm.
ACM Transactions on Graphics 24, 3 (Aug.), 1176–1185.



SEGOVIA, B., IEHL, J.-C., AND PÉROCHE, B. 2007.
Coherent Metropolis Light Transport with Multiple-Try Mutations.
Tech. Rep. RR-LIRIS-2007-015, LIRIS UMR 5205 CNRS/INSA de Lyon/Université Claude Bernard Lyon 1/Université Lumière Lyon 2/Ecole Centrale de Lyon, Apr.



VEACH, E., AND GUIBAS, L. J. 1997.
Metropolis light transport.
In *Proceedings of SIGGRAPH 97, Computer Graphics Proceedings, Annual Conference Series*, 65–76.



VEACH, E. 1997.
Robust Monte Carlo Methods for Light Transport Simulation.
PhD thesis, Stanford.



WALD, I., SLUSALLEK, P., BENTHIN, C., AND WAGNER, M. 2001.
Interactive rendering with coherent ray tracing.
Computer Graphics Forum 20, 3, 153–164.

WAHRSCHEINLICHKEITSDICHTEFUNKTION

- Eine **Wahrscheinlichkeitsdichtefunktion** (*probability density function*, PDF) $p(x)$ misst die infinitesimale Wahrscheinlichkeit einer Zufallsvariablen X :

$$P(a < X < b) = \int_a^b p(x) dx. \quad (12)$$

- Meist wird eine PDF **normiert**: $\int_{-\infty}^{\infty} p(x) dx = 1$.
- Die Stammfunktion wird **(kumulative) Verteilungsfunktion** genannt:

$$F(x) = \int_{-\infty}^x p(x') dx'. \quad (13)$$

LICHTPFADNOTATION

- reguläre Ausdrücke in Lichtpfaden [Heckbert 1990]
 - L Lichtquelle,
 - D diffuse Oberfläche,
 - S spiegelnde Oberfläche,
 - E Beobachter.

BEISPIEL

$$ES^*DS^+(D|L)$$

kaustischer Lichtpfad von der Linse zu einer diffusen Oberfläche oder einer Lichtquelle

VERTEILUNGSFUNKTIONEN

- **BRDF** (*bidirectional reflectance distribution function*)

DEFINITION

$$f_s(x \rightarrow x' \rightarrow x'') = f_s(x \rightarrow x', x \rightarrow x'')$$

$$= \frac{dL_r(x \rightarrow x'')}{dE_i(x \rightarrow x')} = \frac{dL_r(x \rightarrow x'')}{L_i(x \rightarrow x') \cos \theta_0 d(x \rightarrow x')},$$

wobei E_i Lichteinfluss und L_r -ausfluss, sowie θ_0 der Winkel zwischen Einfallsvektor $x \rightarrow x'$ und der Oberflächen-Normalen sind.

- lichtdurchlässige Materialien: **BTDF** (*bidirectional transmittance distribution function*)
- Zusammen ergeben diese die **BSDF** (*birectional scattering distribution function*).

RENDERGLEICHUNG

- Die **Rendergleichung** wurde von [Kajiya 1986] aufgestellt.

RENDERGLEICHUNG

Notation von [Veach 1997]:

$$L(x' \rightarrow x'') = L_e(x' \rightarrow x'') + \int_{\mathcal{M}} L(x \rightarrow x') f_s(x \rightarrow x' \rightarrow x'') G(x \leftrightarrow x') dA(x) \quad (14)$$

RENDERGLEICHUNG

- Die **Rendergleichung** wurde von [Kajiya 1986] aufgestellt.

RENDERGLEICHUNG

$L_{(e)}$ (emittierter) Licht-Energiefluss

G geometrischer Faktor (Skalarprodukt)

V visueller Faktor

f_s *bidirectional scattering distribution function* (BSDF)

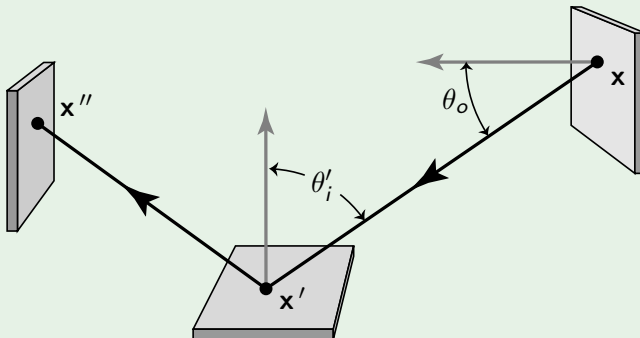
M Vereinigung aller Oberflächen

dA entsprechendes Lebesgue-Maß

RENDERGLEICHUNG

- Die **Rendergleichung** wurde von [Kajiya 1986] aufgestellt.

ILLUSTRATION



PFADINTEGRALFORMULISMUS I

- Die **Messgleichung** eines hypothetischen Sensors, der mit Responsivität $W_e(\mathbf{x} \rightarrow \mathbf{x}')$ auf Licht $L(\mathbf{x} \rightarrow \mathbf{x}')$ reagiert:

$$I = \int_{\mathcal{M} \times \mathcal{M}} W_e(\mathbf{x} \rightarrow \mathbf{x}') L(\mathbf{x} \rightarrow \mathbf{x}') G(\mathbf{x} \leftrightarrow \mathbf{x}) dA(\mathbf{x}) dA(\mathbf{x}').$$

- Erweitere **rekursiv** mit der Rendergleichung (s.o.), um die **Pfadintegralgleichung** zu erhalten:

$$I = \sum_{k=1}^{\infty} \int_{\mathcal{M}^{k+1}} \left[L_e(\mathbf{x}_k \rightarrow \mathbf{x}_{k-1}) G(\mathbf{x}_k \leftrightarrow \mathbf{x}_{k-1}) W_e(\mathbf{x}_1 \rightarrow \mathbf{x}_0) \cdot \left(\prod_{i=1}^{k-1} f_s(\mathbf{x}_{i+1} \rightarrow \mathbf{x}_i \rightarrow \mathbf{x}_{i-1}) G(\mathbf{x}_i \leftrightarrow \mathbf{x}_{i+1}) \right) dA(\mathbf{x}_0) \dots dA(\mathbf{x}_k) \right]$$

PFADINTEGRALFORMULISMUS II

- Beim **Pfadintegral-Formalismus** wird der Integrationsraum in die Teilräume der endlichen Pfadlängen k zerlegt:

$$\Omega = \bigcup_{k=1}^{\infty} \Omega_k, \quad \bar{\mathbf{x}} = (\mathbf{x}_1, \mathbf{x}_2, \dots, \mathbf{x}_k) \in \Omega_k$$

- Das Maß dieser Mengen wird kombiniert:

$$\mu(G) = \sum_{k=1}^{\infty} \mu_k(G \cap \Omega_k), \quad d\mu_k(\bar{\mathbf{x}}) = dA(\mathbf{x}_0) \dots dA(\mathbf{x}_k)$$

- Integral ist dann die **Summe** über Pfade aller Längen.
- Beitrag eines Pfades: multiplizierte BSDF und geometrischen Faktoren.

UMRECHNUNG RAUMWINKEL

- $\omega_0 = \widehat{\mathbf{x}' - \mathbf{x}}$ Raumwinkel der Gerade $\mathbf{x} \rightarrow \mathbf{x}'$.
- Projizierter Raumwinkel von $D \subset S^2$:

$$\sigma_{\mathbf{x}}^{\perp}(D) = \int_D |\omega \cdot \mathbf{N}(\mathbf{x})| d\sigma(\omega)$$

- infinitesimal:

$$d\sigma^{\perp}(\omega_0) = |\omega_0 \cdot \mathbf{N}(\mathbf{x})| d\sigma(\omega_0),$$

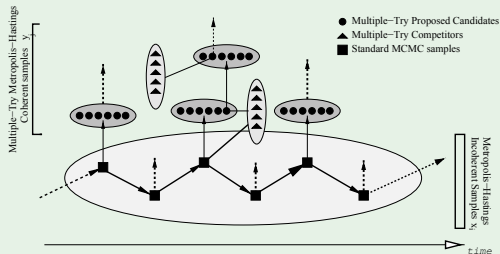
- $\mathbf{N}(\mathbf{x})$ Normalenvektor der Oberfläche an Stelle \mathbf{x} , so dass $\omega_0 \cdot \mathbf{N}(\mathbf{x}) = \cos \theta_0$.
- Umrechnung PDF:

$$p^{\perp}(\omega_0) = p(\omega_0) \frac{1}{\cos \theta_0}$$

MULTIPLE-TRY-METROPOLIS-HASTINGS IN MLT II

- Illustration der MTMH-Wettstreiter (Kreise) und Widersacher (Dreiecke) als zweite Ebene unterhalb MLT-Mutationen (Quadrate).

ILLUSTRATION MTMH-MUTATIONEN: ZEIT



MULTIPLE-TRY-METROPOLIS-HASTINGS IN MLT II

- Illustration der MTMH-Wettstreiter (Kreise) und Widersacher (Dreiecke) als zweite Ebene unterhalb MLT-Mutationen (Quadrate).

ILLUSTRATION MTMH-MUTATIONEN: SCREEN

